

## 1-1 مقدمه:

علم جامدات به روابط نیروهای خارجی با تنش و کرنش داخلی می پردازد. برای بررسی هر جسم جامد، ابتدا باید آن جسم تحت تعادل استاتیکی قرار داشته باشد. نیروهای خارجی عمل کننده روی یک جسم به «نیروهای سطحی»<sup>(1)</sup>، و نیروهای حجمی<sup>(2)</sup> تقسیم می شوند. نیروهای سطحی به صورت نیروهای متمرکز و یا نیروهای گسترده روی سطح جسم وارد می آیند. نیروهای حجمی نیروهائی هستند که بر همه ذرات جسم اثر می کنند. از جمله نیروهای حجمی می توان وزن، نیروی گریز از مرکز و جاذبه های مغناطیسی را نام برد.

رفتار جسم، به صورت تغییر ابعاد آن و یا دربرخی موارد شکست آن، تابع توزیع نیروهای داخلی است، که خود بستگی به سیستم نیروهای خارجی دارد. برای بررسی رفتار جسم، نخست باید تنش را شناخت و سپس آن را تحلیل کرد. در این بخش ابتدا تنش تعریف شده و سپس تحلیل آن در سیستم دو محوری و سه محوری ارائه می شود. اثر نیروهای داخلی در تغییر ابعاد جسم در بخش دوم مورد بررسی قرار خواهد گرفت.

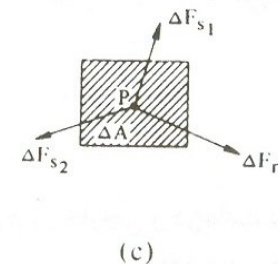
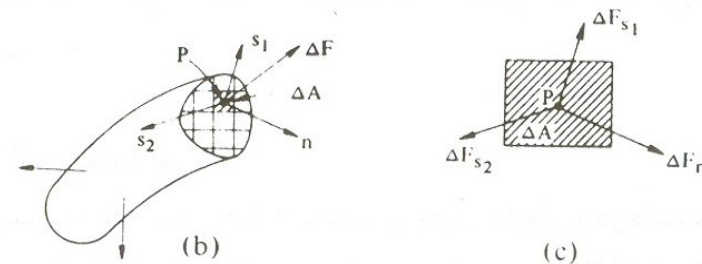
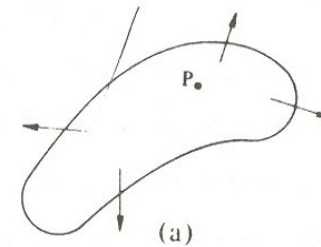
## 1-2 تعریف تنش

جسمی مطابق شکل (1-1a)، تحت نیروهای خارجی و در حالت تعادل در نظر گرفته می شود. المان سطحی  $\Delta A$  در داخل جسم تحت نیروی  $\Delta F$  قرار دارد، شکل (1-1b) محورهای متعامد  $n$ ،  $s_1$ ،  $s_2$ ، که مبداء آن نقطه  $P$  است طوری در نظر گرفته می شوند که  $n$  نرمال و  $s_1$  و  $s_2$  مماس بر سطح  $\Delta A$  باشند. در حالت کلی  $\Delta F$  روی هیچیک از

محورهای  $s_1$ ،  $s_2$ ،  $n$  قرار نگرفته است. تجزیه نیروی  $\Delta F$  به مؤلفه‌هایی موازی  $s_1$ ،  $n$  و  $s_2$ ، شکل (1-1c)، منتهی به تعریف تنش نرمال  $\sigma_n$  و تنش‌های برشی  $\tau_{s_1}$  به صورت زیر می‌شود؛

$$\sigma_n = \lim_{\Delta A \rightarrow 0} \frac{\Delta F_n}{\Delta A} \quad (1-1)$$

$$\tau_{s_1} = \lim_{\Delta A \rightarrow 0} \frac{\Delta F_{s_1}}{\Delta A} \quad \tau_{s_2} = \lim_{\Delta A \rightarrow 0} \frac{\Delta F_{s_2}}{\Delta A}$$



شکل (1-1)

## تحلیل تنش

رابطه (1-1) مؤلفه‌های تنش در نقطه P، وقتی سطحی  $\Delta A$  خیلی کوچک می‌شود، را نشان می‌دهد. واحد تنش در سیستم SI برحسب نیوتن بر متر مربع یا پاسکال (Pa) است. در جدول (1-1) برخی واحدهای این سیستم با سیستم انگلیسی مقایسه شده است. اجزاء مورد استفاده در سیستم SI عبارتند از؛

$\mu$  (میکرو)، m (میلی)، c (سانتی)، d (دسی)، k (کیلو)، M (مگا)، و G (گیگا) که ضرایب آن به ترتیب  $10^{-6}$ ،  $10^{-3}$ ،  $10^{-2}$ ،  $10^{-1}$ ،  $10^3$ ،  $10^6$ ،  $10^9$  است.

Quantity	SI Units	U.S. Units
Length	meter (m)	inch
Force	newton (N)	pound force
Time	second (s)	second
Mass	kilogram (kg)	pound mass, slug

## Some conversion factors

1 m = 39.37 in	1 N = 0.2248 lbf
1 MPa = 145 psi	1 kg = 2.2046 lbm
1 kN/m = 68.53 lb/ft	1 N.m = 0.7376 lbf.ft

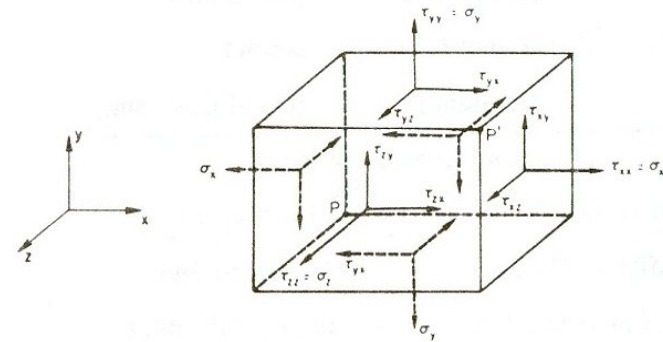
مقادیر بدست آمده از رابطه (1-1) با تغییر نیروی  $\Delta F$ ، تغییر می‌کند. مؤلفه‌های تنش نه تنها به نیروی  $\Delta F$ ، بلکه به جهت سطحی که از نقطه P می‌گذرد، نیز بستگی دارند. بنابراین تنش‌ها در یک نقطه خاص با توجه به سطح انتخاب شده تغییر می‌کنند، و برای شناخت تنش در یک نقطه باید وضعیت تنش روی تمام صفحات عبور کرده از آن نقطه را شناخت.

در ساده‌ترین حالت، وقتی یک میله منشوری، تحت نیروی گسترده F در دو انتها قرار دارد، نیروهای داخلی هم به صورت یکنواخت روی هر مقطع توزیع شده‌اند. منظور از میله منشوری، میله‌ای است که سطح مقطع آن، A، در تمام طول یکسان است. در نتیجه



## 1-3 تانسور تنش

در قسمت 1-8 نشان داده خواهد شد که برای مشخص شدن تنش در یک نقطه، و یا به عبارت دیگر تنش روی سطوح بسیار زیادی که از آن نقطه می‌گذرند، کافیت تنش روی سه سطح متعامد مشخص باشد. این سه سطح طبق شکل (1-2)، بر سه محور مختصات عمود بوده و سه رویه یک مکعب مستطیل را تشکیل می‌دهند. حالت تنش در این شکل سه محوری است، و فرض شده است که تنش در نقاط P و P' یکسان بوده و توزیع تنش یکنواخت است.



شکل (1-2)

روی هر رویه تنش را می‌توان با یک بردار که از مرکز سطح می‌گذرد نشان داد. در ضمن همانطور که در قسمت قبل گفته شد، نه مؤلفه اسکالر تنش حالت تنش در نقطه را نشان می‌دهد. مؤلفه‌های تنش را می‌توان به شکل ماتریس زیر نوشت، که در آن هر ردیف نشان‌دهنده تنش‌های روی یک صفحه عبور کرده از نقطه P (x,y,z) می‌باشد:

$$\begin{bmatrix} \tau_{xx} & \tau_{xy} & \tau_{xz} \\ \tau_{yx} & \tau_{yy} & \tau_{yz} \\ \tau_{zx} & \tau_{zy} & \tau_{zz} \end{bmatrix} = \begin{bmatrix} \sigma_x & \tau_{xy} & \tau_{xz} \\ \tau_{yx} & \sigma_y & \tau_{yz} \\ \tau_{zx} & \tau_{zy} & \sigma_z \end{bmatrix} \quad (1-2)$$

آرایه فوق یک تانسور تبه‌دو است (به قسمت 1-8 رجوع شود)، و برای نشان دادن هر المان یا مؤلفه آن دو اندیس لازم است. بردار یک تانسور تبه یک، و اسکالر تانسور تبه صفر می‌باشد. نمادگذاری دو اندیس هر مؤلفه تنش بدین صورت است: اندیس اول نشان دهنده جهت نرمال بر صفحه یا رویه‌ای است که مؤلفه تنش روی آن عمل می‌کند، و اندیس دوم جهت خود تنش را نشان می‌دهد. در این کتاب تنش‌های نرمال  $\tau_{xx}$  و  $\tau_{yy}$  و  $\tau_{zz}$  با  $\sigma_x$ ،  $\sigma_y$ ،  $\sigma_z$  نشان داده خواهد شد. در ضمن هر صفحه و یا رویه نیز با محور عمود بر آن، مثلاً صفحه عمود بر محور X صفحه X، خوانده می‌شود.

با مراجعه به شکل (1-2)، مشخص می‌شود که هر دو مؤلفه تنش نشان‌داده شده با  $\tau_{yx}$  المان را در جهت عقربه‌های ساعت می‌چرخانند. براین مبنا روش علامت‌گذاری زیر طوری انتخاب شده است که این دو مؤلفه هم علامت باشند. در این علامت‌گذاری از جهت نرمال (بطرف خارج) صفحه و جهت خود مؤلفه استفاده شده است، و برای هر دو مؤلفه تنش نرمال و تنش برشی قابل استفاده است. وقتی جهت نرمال بر صفحه و جهت تنش، نسبت به محورهای مختصات، مثبت باشند مؤلفه تنش مثبت است. همچنین وقتی هر دو جهت منفی است، مؤلفه تنش مثبت خواهد بود. در حالت دیگر اگر یکی از این دو مثبت و یکی منفی باشد، مؤلفه تنش منفی در نظر گرفته می‌شود. با این علامت‌گذاری تنش‌های نرمال کششی مثبت، و تنش‌های نرمال فشاری منفی خواهند بود. در ضمن همه مؤلفه‌های تنش نشان داده شده در شکل (1-2)، مثبت می‌باشند.

سیستم نمادگذاری تانسوری یا اندیسی، که در آن مؤلفه‌های تنش به صورت  $\tau_{ij}$  نشان داده می‌شوند، در پیوست الف آمده است، و در ادامه بحث در این کتاب مورد استفاده قرار نمی‌گیرد.

## 1-4 تغییرات تنش در داخل یک جسم

مؤلفه‌های تنش ممکن است از نقطه‌ای به نقطه دیگر متغیر باشند. المان نازک با ابعاد

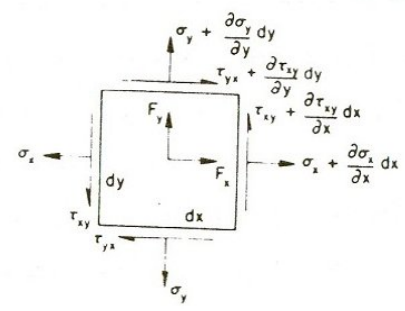


dx و dy در نظر گرفته شده، فرض می شود روی المان تنش های  $\sigma_x$ ،  $\sigma_y$ ،  $\tau_{xy}$  و  $\tau_{yx}$  عمل می کنند. این مؤلفه ها به صورت فقط تابعی از x و y فرض شده، و سایر مؤلفه های تنش صفر فرض می شوند. علاوه بر این مؤلفه های نیروهای حجمی در جهت های x و y به ترتیب  $F_x$  و  $F_y$  بوده، و این مؤلفه ها مستقل از جهت z هستند. در ضمن  $F_z = 0$  می باشد. این حالت تنش، «تنش صفحه ای»، نامیده می شود. باید توجه داشت که با فرض کوچک بودن المان، تنش ها با توزیع یکنواخت روی هر رویه می توانند در نظر گرفته شوند.

با حرکت کردن از نقطه ای به نقطه دیگر، مثلاً از نقطه گوشه چپ و پائین به نقطه گوشه راست و بالا، هر مؤلفه تنش مثلاً  $\sigma_x$ ، ابتدا روی صفحه x منفی اثر کرده، و سپس به مؤلفه روی صفحه x مثبت تغییر می کند. سایر مؤلفه های تنش  $\sigma_y$ ،  $\tau_{xy}$  و  $\tau_{yx}$  نیز تغییرات مشابهی دارند. تغییرات تنش در اثر جابجائی را می توان به کمک بسط کوتاه شده تیلور به صورت زیر نشان داد؛

$$\sigma_x + \frac{\partial \sigma_x}{\partial x} dx \tag{a}$$

در این رابطه با توجه به اینکه  $\sigma_x$  تابعی از x و y است، مشتق نسبی بکار رفته است. با همین روش می توان سایر مؤلفه های تنش را، طبق شکل (1-3)، نشان داد.



شکل (1-3)

این المان باید تعادل استاتیکی داشته باشد. با فرض ضخامت واحد برای المان، تعادل ممان حول گوشه چپ و پائین به صورت زیر خواهد بود؛

$$\left( \frac{\partial \sigma_y}{\partial y} dx dy \right) \frac{dx}{2} - \left( \frac{\partial \sigma_x}{\partial x} dx dy \right) \frac{dy}{2} + (\tau_{xy} + \frac{\partial \tau_{xy}}{\partial x} dx) dx dy$$

$$- (\tau_{yx} + \frac{\partial \tau_{yx}}{\partial y} dy) dx dy + F_y dx dy \frac{dx}{2} - F_x dx dy \frac{dy}{2} = 0$$

با صرف نظر کردن از ترمهائی که در آن dx و dy سه مرتبه در هم ضرب شده اند، عبارت فوق به صورت زیر در می آید؛

$$\tau_{xy} = \tau_{yx} \tag{1-3}$$

با روش مشابه می توان تساویهای زیر را نشان داد؛

$$\tau_{xz} = \tau_{zx} \quad \text{و} \quad \tau_{yz} = \tau_{zy} \tag{1-3b}$$

در نتیجه اندیسهای مؤلفه تنش برشی قابل جابجائی است، و به عبارت دیگر تانسور تنش متقارن است. این تقارن بدین مفهوم است که تنش های برشی عمل کننده روی صفحات عمود بر هم برابر می باشند. بدین علت در ادامه بحث بین  $\tau_{xy}$ ،  $\tau_{yx}$ ،  $\tau_{zy}$  و  $\tau_{yz}$  تمایزی در نظر گرفته نخواهد شد.

از تعادل المان در جهت x نتیجه می شود؛

$$(\sigma_x + \frac{\partial \sigma_x}{\partial x} dx) dy - \sigma_x dy + (\tau_{xy} + \frac{\partial \tau_{xy}}{\partial y} dy) dx - \tau_{xy} dx + F_x dx dy = 0 \tag{b}$$

پس از ساده کردن رابطه (b) به صورت زیر در می آید؛

$$\left( \frac{\partial \sigma_x}{\partial x} + \frac{\partial \tau_{xy}}{\partial y} + F_x \right) dx dy = 0 \tag{c}$$

از آنجا که dx dy نمی تواند صفر باشد، مقدار داخل پرانتز باید صفر شود. به روش مشابه می توان تعادل استاتیک در جهت y را نوشت. از مجموع این دو، «معادله دیفرانسیل تعادل» زیر به دست می آید؛

$$\frac{\partial \sigma_x}{\partial x} + \frac{\partial \tau_{xy}}{\partial y} + F_x = 0 \tag{1-4}$$

$$\frac{\partial \sigma_y}{\partial y} + \frac{\partial \tau_{yx}}{\partial x} + F_y = 0$$



با عمومیت دادن رابطه فوق، معادله دیفرانسیل تعادل برای حالت سه محوری به شکل زیر درمی آید؛

$$\frac{\partial \sigma_x}{\partial x} + \frac{\partial \tau_{xy}}{\partial y} + \frac{\partial \tau_{xz}}{\partial z} + F_x = 0 \quad (1-5)$$

$$\frac{\partial \sigma_y}{\partial y} + \frac{\partial \tau_{xy}}{\partial x} + \frac{\partial \tau_{yz}}{\partial z} + F_y = 0$$

$$\frac{\partial \sigma_z}{\partial z} + \frac{\partial \tau_{xz}}{\partial x} + \frac{\partial \tau_{yz}}{\partial y} + F_z = 0$$

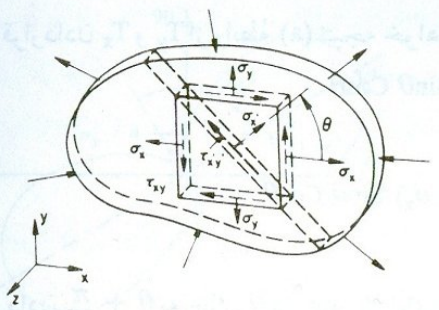
در بسیاری از مسائل علمی، فقط وزن جسم به صورت نیروی حجمی عمل می کند. در این صورت، با انتخاب محور  $y$  به طرف بالا و نشان دادن جرم حجمی با  $\rho$  و شتاب ثقل زمین با  $g$ ، در روابط (1-4) و (1-5) مؤلفه های نیروهای حجمی به صورت زیر خواهند بود؛

$$F_x = F_z = 0 \quad \text{و} \quad F_y = -\rho g \quad (d)$$

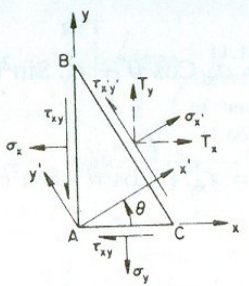
### 1-5 تنش دوماحوری در یک نقطه

وقتی در یک نقطه تنش دوماحوری حکمفرما است که تنش ها و نیروهای حجمی مستقل از یکی از محورهای مختصات، مثلاً  $z$ ، باشند. در چنین حالتی تنش های  $\sigma_x$ ،  $\sigma_y$  و  $\tau_{xy}$  و مؤلفه های  $x$  و  $y$  لایروهای حجمی وجود خواهند داشت. مسائل دوماحوری به دو صورت «تنش صفحه ای» یا «کرنش صفحه ای» تعریف می شوند. در حالت تنش صفحه ای، مثل حالتی که در قسمت قبل بررسی شد، تنش های  $\sigma_z$ ،  $\tau_{xz}$ ،  $\tau_{yz}$  و مؤلفه نیروی حجمی در جهت  $z$  صفر فرض می شوند. در حالت کرنش صفحه ای،  $\tau_{yz}$ ،  $\tau_{xz}$  و مؤلفه نیروی حجمی  $F_z$  صفر می باشند ولی  $\sigma_z$  صفر نبوده، و آن را می توان از دو مؤلفه تنش  $\sigma_x$  و  $\sigma_y$  به دست آورد.

حال روابط انتقال مؤلفه های تنش  $\sigma_x$ ،  $\sigma_y$  و  $\tau_{xy}$  برای نقطه ای از جسم که با المان کوچک شکل (1-4a) نشان داده شده است مورد بررسی قرار می گیرد. مؤلفه  $\sigma_z$  حتی اگر صفر نباشد، در این بررسی اثری نخواهد داشت.



(a)



(b)

شکل (1-4)

گوشه بریده شده این المان در شکل (1-4b) نشان داده شده است. هدف از این بررسی، بدست آوردن تنش های  $\sigma'_x$  و  $\tau'_{xy}$ ، مربوط به محورهای  $x'$  و  $y'$  است که طبق شکل با محورهای  $x$  و  $y$  زاویه  $\theta$  تشکیل می دهند. ضلع  $BC$  عمود بر  $x'$  در نظر گرفته می شود. توجه داشته باشید که با توجه به قرارداد علائم،  $\sigma'_x$  و  $\tau'_{xy}$  در شکل (1-4b) مثبت هستند. اگر سطح  $BC$  واحد فرض شود، سطوح  $AB$  و  $AC$  به ترتیب برابر  $\cos\theta$  و  $\sin\theta$  خواهند بود.

از تعادل نیروها در جهت های  $x$  و  $y$  نتیجه می شود؛

$$\begin{aligned} T_x &= \sigma_x \cos\theta + \tau_{xy} \sin\theta \\ T_y &= \tau_{xy} \cos\theta + \sigma_y \sin\theta \end{aligned} \quad (1-6)$$

که در آن  $T_x$  و  $T_y$  مؤلفه های منتهجه تنش روی  $BC$  در جهت های  $x$  و  $y$  است. تنش های برشی و نرمال روی سطح  $x'$  (سطح  $BC$ ) با تصویرکردن  $T_x$  و  $T_y$  در جهت های  $x'$  و  $y'$  به دست می آیند؛

$$\begin{aligned} \sigma'_x &= T_x \cos\theta + T_y \sin\theta \\ \tau'_{xy} &= T_y \cos\theta - T_x \sin\theta \end{aligned} \quad (a)$$



از رابطه فوق نتیجه می شود؛

$$\sigma_x'^2 + \tau_{x'y'}^2 = T_x^2 + T_y^2$$

با قراردادن  $T_x$  و  $T_y$  از رابطه (a) نتیجه خواهد شد؛

$$\sigma_x' = \sigma_x \cos^2\theta + \sigma_y \sin^2\theta + 2\tau_{xy} \sin\theta \cos\theta$$

(b)

$$\tau_{x'y'} = \tau_{xy} (\cos^2\theta - \sin^2\theta) + (\sigma_y - \sigma_x) \sin\theta \cos\theta$$

با قراردادن  $\theta + \frac{\pi}{2}$  به جای  $\theta$  در عبارت  $\sigma_x'$ ،  $\sigma_y'$  بدست می آید. با استفاده از روابط مثلثاتی زیر:

$$\cos^2\theta = \frac{1}{2}(1 + \cos 2\theta) \quad \sin^2\theta = \frac{1}{2}(1 - \cos 2\theta)$$

$$\sin\theta \cos\theta = \frac{1}{2} \sin 2\theta$$

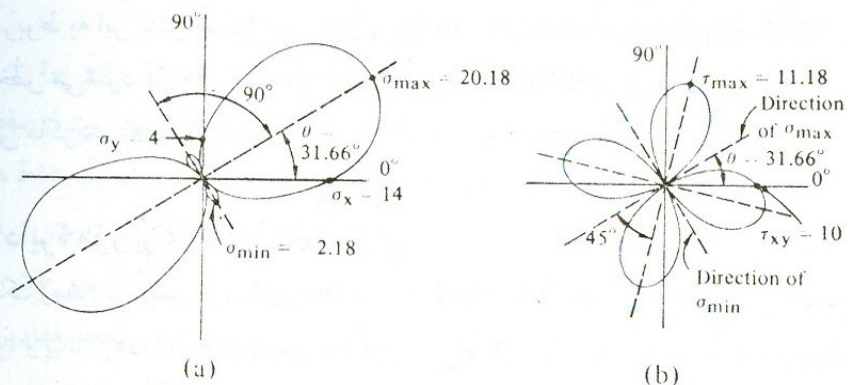
«روابط انتقال تنش» به صورت زیر درمی آیند؛

$$\sigma_x' = \frac{1}{2}(\sigma_x + \sigma_y) + \frac{1}{2}(\sigma_x - \sigma_y) \cos 2\theta + \tau_{xy} \sin 2\theta \quad (1-7a)$$

$$\tau_{x'y'} = -\frac{1}{2}(\sigma_x - \sigma_y) \sin 2\theta + \tau_{xy} \cos 2\theta \quad (1-7b)$$

$$\sigma_y' = \frac{1}{2}(\sigma_x + \sigma_y) - \frac{1}{2}(\sigma_x - \sigma_y) \cos 2\theta - \tau_{xy} \sin 2\theta \quad (1-7c)$$

با استفاده از روابط فوق، با دانستن مؤلفه‌های تنش روی سه رویه متعامد، می توان تنش های روی هر صفحه دلخواه BC (حالت تنش در یک نقطه) را به دست آورد. برای مثال حالت تنش  $\sigma_x = 14 \text{ MPa}$ ،  $\sigma_y = 4 \text{ MPa}$  و  $\tau_{xy} = 10 \text{ MPa}$  در نظر گرفته می شود. با قراردادن این مقادیر در روابط (1-7) و تغییر زاویه  $\theta$  بین  $0^\circ$  تا  $360^\circ$  منحنی های شکل (1-5) بدست می آیند. این منحنی ها «مسیرهای تنش» نامیده می شوند و  $\sigma_x'$  در مقابل  $\theta$  (شکل 1-5a)، و  $\tau_{x'y'}$  در مقابل  $\theta$  (شکل 1-5b) را نشان می دهند. توجه داشته باشید که تنش های نرمال روی صفحات  $\theta = 31.66^\circ + 90^\circ$  و  $\theta = 31.66^\circ$  ماکزیمم یا می نیمم بوده و روی این صفحات تنش برشی صفر است. این نتیجه همانطور که در قسمت بعد نشان داده می شود برای هر حالت تنش دو محوری (یا سه محوری) صادق است.



شکل (1-5)

### 1-6 تنش های اصلی در حالت دو محوری

برای تعیین جهت  $x'y'$  به طوری که در آن  $\sigma_x'$  ماکزیمم یا می نیمم باشد، کافیت با استفاده از رابطه (1-7a)،  $\frac{d\sigma_x'}{d\theta} = 0$  قرار داده شود. در این صورت نتیجه می شود؛

$$-(\sigma_x - \sigma_y) \sin 2\theta + 2\tau_{xy} \cos 2\theta = 0 \quad (a)$$

یا:

$$\tan 2\theta_p = \frac{2\tau_{xy}}{\sigma_x - \sigma_y} \quad (1-8)$$

باتوجه به اینکه  $\tan 2\theta = \tan(\pi + 2\theta)$  است، رابطه (1-8) دو جهت عمود برهم را مشخص می کند. این دو جهت، «جهت های اصلی»، نامیده می شوند، و در امتداد آنها تنش های اصلی، ماکزیمم یا می نیمم، عمل می نماید.

با مقایسه رابطه (a)، نتیجه می شود که روی سطوح اصلی  $\tau_{x'y'} = 0$  است. به عبارت دیگر سطوح اصلی بدون تنش برشی هستند. تنش های اصلی، با قراردادن رابطه (1-8)

در رابطه (1-7a) به صورت زیر بدست می آیند؛

$$\sigma_{1,2} = \frac{\sigma_x + \sigma_y}{2} \pm \sqrt{\left(\frac{\sigma_x - \sigma_y}{2}\right)^2 + \tau_{xy}^2} \quad (1-9)$$



در این رابطه تنش اصلی ماکزیمم با  $\sigma_1$  و تنش اصلی می نیمم با  $\sigma_2$  نشان داده شده است. برای اینکه زاویه صفحه تنش اصلی  $\sigma_1$  پیدا شود، باید مشخص کرد که کدام مقدار  $\theta_p$  مربوط به این تنش است. این زاویه با قراردادن دو مقدار  $\sigma_1$  و  $\sigma_2$  در رابطه (1-7a) مشخص می شود. با روش مشابه و با استفاده از رابطه (1-7b) می توان عبارتی برای تنش برشی ماکزیمم به دست آورد.

### 1-7 دایره مور برای تنش دو محوری

یک روش ترسیمی بر مبنای رابطه (1-7)، امکان انتقال تنش از صفحه ای به صفحه دیگر، و پیدا کردن تنش های اصلی و تنش برشی ماکزیمم را بدست می دهد. این روش ترسیمی به نام دایره مور نامیده می شود. برای بدست آوردن معادله دایره، روابط (1-7a) و (1-7b) به صورت زیر نوشته می شوند؛

$$(\sigma'_x - \frac{\sigma_x + \sigma_y}{2})^2 + \tau^2 = (\frac{\sigma_x - \sigma_y}{2})^2 + \tau_{xy}^2 \quad (a)$$

که در آن  $\sigma = \sigma'_x$  و  $\tau = \tau'_{xy}$  است. رابطه (a) روی محورهای قائم  $\sigma - \tau$  یک دایره است و به نام دایره مور نامیده می شود.

در دایره مور علامت قراردادی برای تنش های نرمال همان علامت قراردادی قبل است، ولی برای سهولت در ترسیم و استفاده از این دایره علامت قراردادی زیر برای تنش برشی به کار می رود:

اگر تنش های برشی روی رویه های مقابل نیروئی ایجاد کنند که کویل آن در جهت عقربه های ساعت باشد، این تنش ها مثبت فرض می شوند. با این تعریف تنش های برشی روی رویه های  $y$  از شکل (1-4a) مثبت، و تنش های برشی روی رویه های  $x$  منفی خواهند بود. با استفاده از علامت قراردادی جدید، برای رسم دایره مور (شکل 1-6) به ترتیب ذیل عمل می شود؛

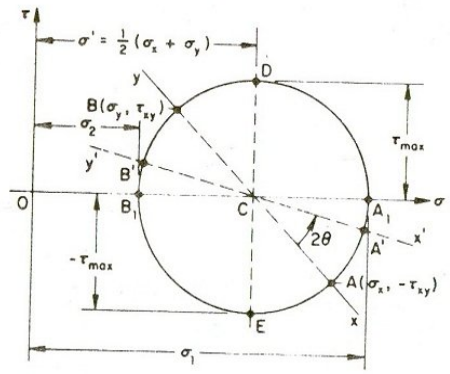
- ۱- محورهای قائم  $\sigma - \tau$  انتخاب شده و مقیاس یکسانی روی این دو انتخاب می شود.
- ۲- مرکز دایره در فاصله  $\frac{1}{2}(\sigma_x + \sigma_y)$  از مبدأ مختصات مشخص می گردد.

۳- نقطه A با مؤلفه های  $\sigma_x$  و  $\tau_{xy}$ ، مشخص کننده تنش روی رویه  $x$  مثبت، انتخاب می شود.

۴- دایره ای به مرکز C و شعاع CA رسم می گردد.

پس از رسم دایره، امتداد AC، دایره را در نقطه B به مشخصات  $\sigma_y$  و  $\tau_{xy}$  قطع می نماید. برای تعیین مؤلفه های تنش روی صفحه ای با زاویه  $\theta$ ، کافیست از نقطه A (مبدأ) به اندازه  $2\theta$  در همان جهت زاویه  $\theta$  (شکل 1-4) چرخید. بدین ترتیب نقاط A و B تنش های صفحات  $x$  و  $y$ ، و نقاط A' و B' تنش های صفحات  $x'$  و  $y'$  را به دست می دهند. واضح است که نقاط  $A_1$  و  $B_1$  روی دایره مشخص کننده مقادیر تنش های اصلی طبق روابط (1-8) و (1-9) بوده، و نقاط D و E ماکزیمم تنش های برشی را نشان می دهند. مقادیر تنش برشی ماکزیمم (بدون توجه به علامت) با  $\tau_{max}$  نشان داده شده و برابر است با:

$$\tau_{max} = \pm \frac{1}{2}(\sigma_1 - \sigma_2) = \pm \sqrt{(\frac{\sigma_x - \sigma_y}{2})^2 + \tau_{xy}^2} \quad (1-10)$$



شکل (1-6)

از دایره مور نیز پیدا است که زاویه صفحات اصلی و صفحات تنش برشی ماکزیمم

45° است. تنش نرمال روی صفحات تنش برشی ماکزیمم برابر است با:

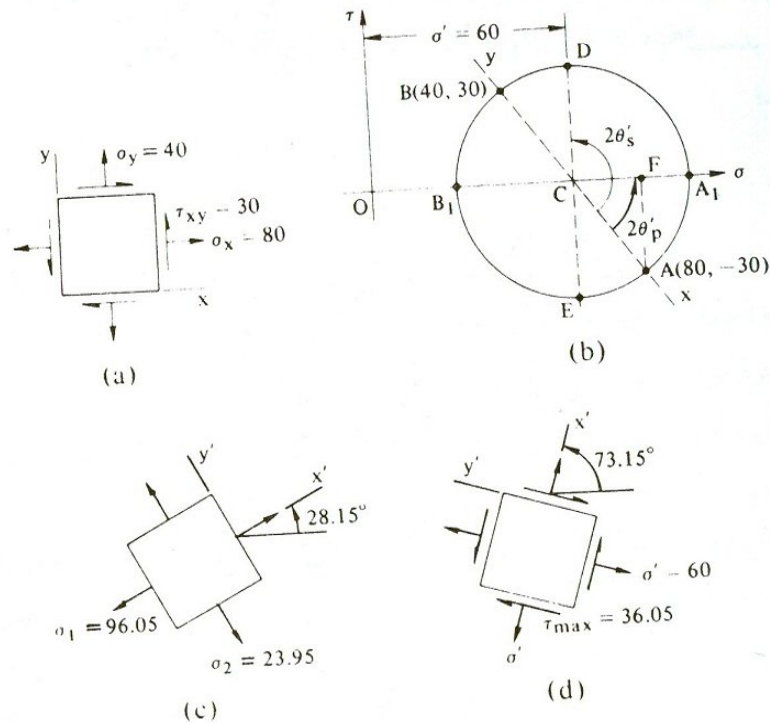
$$\sigma' = \frac{1}{2}(\sigma_1 + \sigma_2) = \frac{1}{2}(\sigma_x + \sigma_y) \quad (1-11)$$



کاربرد دایره مور در مثال‌های زیر نشان داده شده است.

### مثال 1-1

در نقطه‌ای از یک جسم، تنش‌ها بر حسب مگا پاسکال مطابق شکل (1-7a) است. با استفاده از دایره مور، (a) مقادیر و جهات تنش‌های اصلی، و (b) مقدار و جهت تنش برشی ماکزیمم را به دست آورید. در هر حالت نتایج را روی یک المان نشان داده و تانسور تنش را به شکل ماتریس نشان دهید.



شکل (1-7)

حل: دایره مور برای المان در شکل (1-7b) رسم شده است و مرکز آن در روی محور

در  $\sigma$

$$(40 + 80)/2 = 60 \text{ MPa}$$

قرار دارد.

(a) تنش‌های اصلی با نقاط  $A_1$  و  $B_1$  نشان داده شده‌اند. در نتیجه تنش‌های اصلی

ماکزیمم و می‌نیم با استفاده از دایره برابرند با:

$$\sigma_{1,2} = 60 \pm \sqrt{\frac{1}{4} (80 - 40)^2 + (30)^2}$$

یا

$$\sigma_1 = 96.05 \text{ MPa} \quad \text{و} \quad \sigma_2 = 23.95 \text{ MPa}$$

زاویه صفحاتی که تنش‌های اصلی روی آنها عمل می‌کنند برابرند با:

$$2\theta'p = \text{tg}^{-1} \frac{30}{20} = 56.30^\circ, \quad 2\theta''p = 56.30^\circ + 180 = 236.30^\circ$$

در نتیجه:

$$\theta'p = 28.15^\circ \quad \text{و} \quad \theta''p = 118.15^\circ$$

دایره مور نشان می‌دهد که  $\theta'p$  مربوط به صفحه  $\sigma_1$  است. حالت تنش‌های اصلی در شکل (1-7c) نشان داده شده است.

(b) تنش‌های برشی ماکزیمم با نقاط  $D$  و  $E$  نشان داده شده‌اند. در نتیجه:

$$\tau_{\max} = \pm \sqrt{\frac{1}{4} (80 - 40)^2 + (30)^2} = \pm 36.05 \text{ MPa}$$

دیده می‌شود که  $(\sigma_1 - \sigma_2)/2$  به همین نتیجه منجر می‌شود. زاویه صفحاتی که روی آنها

تنش‌های برشی ماکزیمم وارد می‌شود برابرند با:

$$\theta'_s = 28.15^\circ + 45^\circ = 73.15^\circ \quad \text{و} \quad \theta''_s = 163.15^\circ$$

دایره مور نشان می‌دهد که تنش برشی ماکزیمم مثبت روی صفحه‌ای عمل می‌کند که

نرمال  $x'$  آن با محور  $x$  زاویه  $\theta'_s$  تشکیل می‌دهد. در نتیجه  $\tau_{\max}$  روی دو رویه  $x'$  از

المان باید طوری وارد شود که کویل نتیجه از آن در جهت عقربه‌های ساعت باشد، شکل

(1-7b). تنش نرمال روی سطوح تنش برشی ماکزیمم برابر  $\sigma' = 60 \text{ MPa}$  است. بدین



ترتیب المان تنش برشی ماکزیمم طبق شکل (1-7d) خواهد بود.

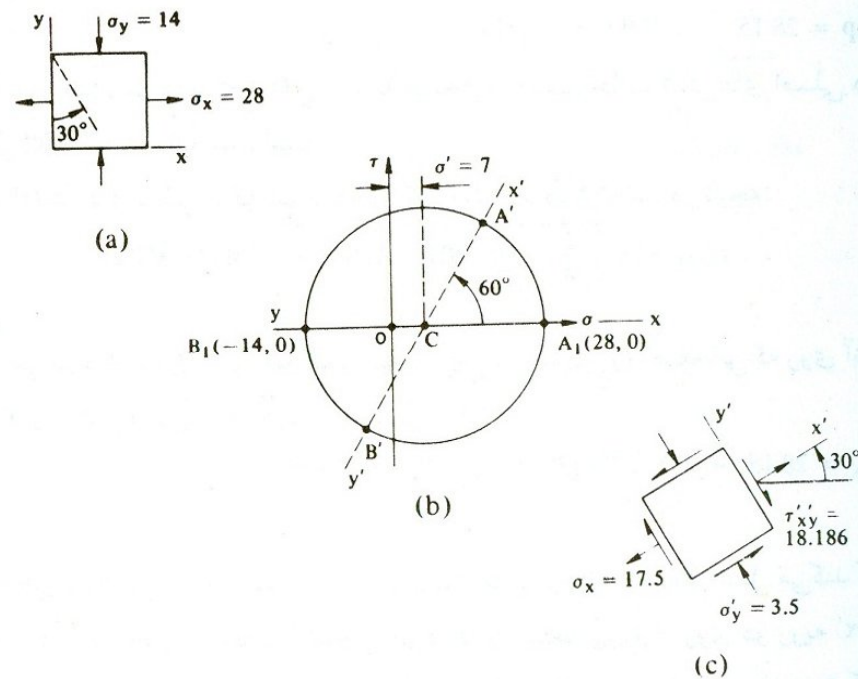
حالت تنش در نقطه به شکل های ماتریسی زیر می تواند نشان داده شود؛

$$\begin{bmatrix} 80 & 30 \\ 30 & 40 \end{bmatrix} \text{ و } \begin{bmatrix} 96.50 & 0 \\ 0 & 23.95 \end{bmatrix} \text{ و } \begin{bmatrix} 60 & -36.05 \\ -36.05 & 60 \end{bmatrix}$$

که به ترتیب مربوط به صفحات  $\theta=0^\circ$ ،  $\theta=28.15^\circ$  و  $\theta=73.15^\circ$  بوده و هم ارز هستند.

مثال 1-2

تنش های عمل کننده روی المانی از یک جسم برحسب مگاپاسکال مطابق شکل (1-8a) است. با استفاده از دایره مور تنش های نرمال و برشی روی صفحه ای با زاویه  $\theta=30^\circ$  را تعیین کنید.



شکل (1-8)

حل: دایره مور برای این المان در شکل (1-8b) نشان داده شده است. نقاط  $A_1$  و  $B_1$  مؤلفه های تنش روی رویه های  $x$  و  $y$  را نشان می دهند. شعاع دایره برابر  $(14+28)/2$  است.

برای صفحه  $30^\circ$  روی المان، باید در خلاف جهت عقربه های ساعت به اندازه  $60^\circ$  چرخید. بدین ترتیب نقطه  $A'$  بدست می آید. چرخش  $240^\circ$  نیز نقطه  $B'$  را مشخص می کند. با توجه به دایره مور نتیجه می شود؛

$$\sigma_{x'} = 7 + 21 \cos 60^\circ = 17.5 \text{ MPa}$$

$$\sigma_{y'} = -3.5 \text{ MPa}$$

و

$$\tau_{x'y'} = \pm 21 \sin 60^\circ = \pm 18.186 \text{ MPa}$$

شکل (1-8c) المان تحت این تنش ها را نشان می دهد.

1-8 حالت تنش سه محوری در یک نقطه

روابط انتقال تنش سه محوری با همان روش بکار رفته در تنش دو محوری به دست می آیند.

المان چهار وجهی جدا شده از یک محیط پیوسته، در حالت کلی تنش، در شکل (1-9) نشان داده شده است. فرض می شود که نیروهای حجمی قابل صرف نظر کردن هستند. در این شکل  $T_x$ ،  $T_y$  و  $T_z$  مؤلفه های کارترین منتجه تنش  $\bar{T}$  روی صفحه  $ABC$  می باشند. باید رابطه بین این مؤلفه ها با تنش های وارده روی سه رویه متعامد المان به دست آید.

وضعیت صفحه  $ABC$  با زوایای نرمال  $\bar{n}$  و جهت های  $x$  و  $y$  و  $z$  مشخص می شود.

کسینوسهای هادی مربوط به این زوایا برابرند با:

$$\cos(\bar{n}, x) = l$$

$$\cos(\bar{n}, y) = m$$

$$\cos(\bar{n}, z) = n$$

$$(1-12)$$

کسینوسهای هادی برای جهت  $\bar{n}$  با رابطه زیر بهم وابسته اند:



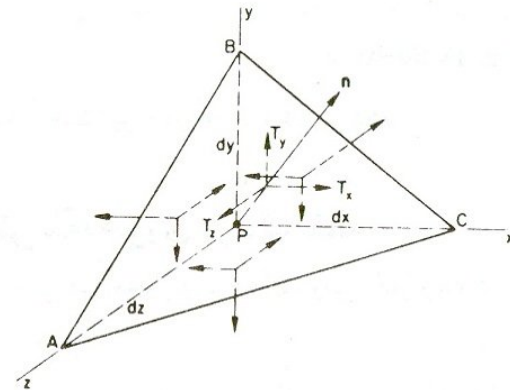
$$l^2 + m^2 + n^2 = 1 \quad (1-13)$$

سطح رویه‌های PAB، PAC و PBC را می‌توان برحسب سطح ABC، A، و کسینوسهای هادی به صورت زیر به دست آورد؛

$$A_{PAB} = A_x = \bar{A} \cdot \bar{L} = A (\bar{l}_i + \bar{m}_j + \bar{n}_k) \cdot \bar{i} = Al$$

$$A_{PAC} = Am \quad , \quad A_{PBC} = An \quad (1-14)$$

در این روابط  $\bar{i}$ ،  $\bar{j}$  و  $\bar{k}$  بردارهای یکه در جهت‌های x، y و z هستند.



شکل (1-9)

حال با نوشتن روابط تعادل در جهت‌های x، y و z و با استفاده از روابط (1-14) نتیجه خواهد شد؛

$$T_x = \sigma_x l + \tau_{xy} m + \tau_{xz} n$$

$$T_y = \tau_{xy} l + \sigma_y m + \tau_{yz} n$$

$$T_z = \tau_{xz} l + \tau_{yz} m + \sigma_z n \quad (1-15)$$

$$\begin{bmatrix} T_x \\ T_y \\ T_z \end{bmatrix} = \begin{bmatrix} \sigma_x & \tau_{xy} & \tau_{xz} \\ \tau_{xy} & \sigma_y & \tau_{yz} \\ \tau_{xz} & \tau_{yz} & \sigma_z \end{bmatrix} \begin{bmatrix} l \\ m \\ n \end{bmatrix}$$

بدین ترتیب منتهی تنش روی A با دانستن مؤلفه‌های تنش  $\sigma_x$ ،  $\sigma_y$ ،  $\sigma_z$ ،  $\tau_{xy}$ ،  $\tau_{yz}$  و  $\tau_{xz}$

دانستن وضعیت صفحه A بدست می‌آید. درحد وقتی رویه‌های چهاروجهی بسمت صفر میل کند، صفحه A نقطه P را شامل می‌شود، و حالت تنش در نقطه مشخص می‌شود. با دانستن این حالت تنش، مؤلفه‌های تنش روی هر سه صفحه متعامد عبور نموده از نقطه P بصورت زیر بدست خواهد آمد.

حال محورهای کارترین  $x'$ ،  $y'$  و  $z'$  طوری انتخاب می‌شوند که  $x'$  بر  $\bar{n}$  منطبق بوده و محورهای  $y'$  و  $z'$  روی سطح مایل قرار داشته باشند. محورهای مختصات  $x'y'z'$  با کسینوسهای هادی؛

$$l_1 = \cos(x', x) \quad , \quad m_1 = \cos(x', y) \quad , \quad \dots$$

بهم وابسته‌اند. نمادگذاری مربوط به سری کامل کسینوسهای هادی در جدول (1-2) نشان داده شده‌اند. تنش نرمال  $\sigma_{x'}$  با تصویر کردن مؤلفه‌های  $T_x$ ،  $T_y$  و  $T_z$  در جهت  $x'$  جمع آنها بدست می‌آید. در نتیجه:

$$\sigma_{x'} = T_x l_1 + T_y m_1 + T_z n_1 \quad (1-16)$$

با ترکیب روابط (1-15) و (1-16) نتیجه خواهد شد:

$$\sigma_{x'} = T_x l_1 + T_y m_1 + T_z n_1 \quad (1-17a)$$

$$\sigma_{x'} = \sigma_x l_1^2 + \sigma_y m_1^2 + \sigma_z n_1^2 + 2(\tau_{xy} l_1 m_1 + \tau_{yz} m_1 n_1 + \tau_{xz} l_1 n_1)$$

به طریق مشابه با تصویر کردن  $T_x$ ،  $T_y$  و  $T_z$  در جهت‌های  $y'$  و  $z'$  نتیجه می‌شود:

$$\sigma_{y'} = \sigma_x l_1 l_2 + \sigma_y m_1 m_2 + \sigma_z n_1 n_2 + \tau_{xy} (l_1 m_2 + m_1 l_2) + \tau_{yz} (m_1 n_2 + n_1 m_2) + \tau_{xz} (n_1 l_2 + l_1 n_2) \quad (1-17b)$$

$$\sigma_{z'} = \sigma_x l_1 l_3 + \sigma_y m_1 m_3 + \sigma_z n_1 n_3 + \tau_{xy} (l_1 m_3 + m_1 l_3) + \tau_{yz} (m_1 n_3 + n_1 m_3) + \tau_{xz} (n_1 l_3 + l_1 n_3) \quad (1-17c)$$

جدول (1-2)

	x	y	z
$x'$	$l_1$	$m_1$	$n_1$
$y'$	$l_2$	$m_2$	$n_2$
$z'$	$l_3$	$m_3$	$n_3$



باتوجه به اینکه برای مشخص شدن حالت تنش در هر نقطه باید تنش‌های روی سه صفحه متعامد در نقطه را دانست، حال که تنش روی یکی از این صفحات (صفحه مایل بررسی شده فوق) شناخته شده است می‌توان تنش روی دو صفحه دیگر عمود بر صفحه مایل را به دست آورد. برای یکی از این صفحات  $\bar{n}$  باید در جهت  $y'$  قرار گیرد و مؤلفه‌های تنش  $\sigma_z'$ ،  $\tau_z'y'$  و  $\tau_z'x'$  به دست خواهد آمد. باتوجه به تقارن تانسور تنش فقط کافیست شش مؤلفه از نه مؤلفه تنش را به دست آورد. سه مؤلفه تنش طبق روابط (1-7a) تا (1-7c) قبلاً به دست آمده است، و سه مؤلفه باقیمانده به صورت زیر خواهند بود؛

$$[\sigma'] = [\sigma] [\cos] [a]^\top$$

$$\sigma_y' = \sigma_x l_2^2 + \sigma_y m_2^2 + \sigma_z n_2^2 + 2(\tau_{xy} l_2 m_2 + \tau_{yz} m_2 n_2 + \tau_{xz} l_2 n_2) \quad (1-17d)$$

$$\sigma_z' = \sigma_x l_3^2 + \sigma_y m_3^2 + \sigma_z n_3^2 + 2(\tau_{xy} l_3 m_3 + \tau_{yz} m_3 n_3 + \tau_{xz} l_3 n_3) \quad (1-17e)$$

$$\tau_{y'z'} = \sigma_x l_2 l_3 + \sigma_y m_2 m_3 + \sigma_z n_2 n_3 + \tau_{xy} (m_2 l_3 + l_2 m_3) + \tau_{yz} (n_2 m_3 + m_2 n_3) + \tau_{xz} (l_2 n_3 + n_2 l_3) \quad (1-17f)$$

روابط (1-17) روابط انتقال مقادیر  $\sigma_x$ ،  $\sigma_y$ ،  $\sigma_z$ ،  $\tau_{xy}$ ،  $\tau_{yz}$ ،  $\tau_{xz}$  است که به طور کامل حالت تنش را بیان می‌کند. کمیت‌هایی مثل تنش (و ممان اینرسی - پیوست C) که این نوع انتقال می‌یابند تانسور رتبه دو هستند.

باید توجه داشت که چون محورهای  $x'$ ،  $y'$  و  $z'$  متعامد هستند، نه کسینوس هادی باید در روابط مثلثاتی زیر صادق باشند؛

$$l_i^2 + m_i^2 + n_i^2 = 1 \quad (i = 1, 2, 3) \quad (a)$$

$$l_1 l_2 + m_1 m_2 + n_1 n_2 = 0$$

$$l_2 l_3 + m_2 m_3 + n_2 n_3 = 0 \quad (b)$$

$$l_1 l_3 + m_1 m_3 + n_1 n_3 = 0$$

از جدول (1-2) پیدا است که روابط (a) جمع مربعات کسینوسهای هادی هر ردیف جدول، و روابط (b) جمع حاصلضرب کسینوسهای هادی در هر دو ردیف است.

### 1-9 تنش‌های اصلی در حالت سه محوری

برای حالت سه محوری نشان داده می‌شود که سه صفحه با تنش بزرگی صفر وجود دارند، که دو به دو برهم عمودند، و تنش‌های نرمال روی آنها مقادیر ماکزیمم یا می‌نیمم را دارا هستند. این تنش‌های نرمال، «تنش‌های اصلی»، نامیده می‌شوند و آنها را با  $\sigma_1$ ،  $\sigma_2$  و  $\sigma_3$  نشان می‌دهند. بیشترین مقدار جبری تنش را  $\sigma_1$  و کمترین مقدار را  $\sigma_3$  نامند. مجدداً یک صفحه مایل  $x'$  در نظر گرفته می‌شود. تنش نرمال روی این صفحه طبق رابطه (1-7a) برابر است با؛

$$\sigma_{x'} = \sigma_x l^2 + \sigma_y m^2 + \sigma_z n^2 + 2(\tau_{xy} l m + \tau_{yz} m n + \tau_{xz} l n) \quad (a)$$

حال باید مقدار حد تنش  $\sigma_{x'}$  را به دست آورد. بدین منظور تغییرات  $\sigma_{x'}$  نسبت به کسینوسهای هادی باید بررسی شود. سه کسینوس هادی  $l$ ،  $m$  و  $n$  با رابطه  $l^2 + m^2 + n^2 = 1$  به هم وابسته‌اند، در نتیجه از این مقدار فقط  $l$  و  $m$  را می‌توان مستقل در نظر گرفت. در نتیجه؛

$$\frac{\partial \sigma_{x'}}{\partial l} = 0, \quad \frac{\partial \sigma_{x'}}{\partial m} = 0 \quad (b)$$

با مشتق گرفتن از رابطه (a)، و با استفاده از رابطه (1-15) نتیجه می‌شود؛

$$T_x + T_z \frac{\partial n}{\partial l} = 0, \quad T_y + T_z \frac{\partial n}{\partial m} = 0 \quad (c)$$

از رابطه  $n^2 = 1 - l^2 - m^2$ ،  $\frac{\partial n}{\partial l} = -\frac{l}{n}$ ،  $\frac{\partial n}{\partial m} = -\frac{m}{n}$  می‌شود. با قراردادن این مقادیر در رابطه (c)، روابط زیر بین مؤلفه‌های  $\bar{T}$  و  $\bar{n}$  بدست می‌آید:

$$\frac{T_x}{l} = \frac{T_y}{m} = \frac{T_z}{n} \quad (d)$$



این تناسب‌ها نشان می‌دهند که منتجه تنش باید موازی برداریکه باشد، و در نتیجه مؤلفه تنش برشی ندارد. در نتیجه روی صفحه‌ای که تنش  $\sigma_x'$  مقدار حد خود را دارا است تنش برشی صفر است. این صفحه «صفحه اصلی» نامیده می‌شود.

حال باید نشان داد که سه صفحه اصلی و در نتیجه سه تنش اصلی وجود دارد. با نشان دادن تنش اصلی به صورت  $\sigma_p$ ، رابطه (d) را می‌توان به صورت زیر نوشت؛

$$T_x = \sigma_p l, \quad T_y = \sigma_p m, \quad T_z = \sigma_p n \quad (e)$$

این رابطه همراه با روابط (1-15) به صورت زیر درمی‌آید؛

$$\begin{aligned} (\sigma_x - \sigma_p) l + \tau_{xy} m + \tau_{xz} n &= 0 \\ \tau_{xy} l + (\sigma_y - \sigma_p) m + \tau_{yz} n &= 0 \end{aligned} \quad (1-18)$$

$$\tau_{xz} l + \tau_{yz} m + (\sigma_z - \sigma_p) n = 0 \quad l^2 + m^2 + n^2 = 1$$

برای اینکه جواب کسینوسهای هادی مخالف صفر باشد، باید دترمیتان ضرایب صفر شود.

$$\begin{vmatrix} \sigma_x - \sigma_p & \tau_{xy} & \tau_{xz} \\ \tau_{xy} & \sigma_y - \sigma_p & \tau_{yz} \\ \tau_{xz} & \tau_{yz} & \sigma_z - \sigma_p \end{vmatrix} = 0$$

از رابطه (1-19) نتیجه می‌شود؛

$$\sigma_p^3 - I_1 \sigma_p^2 + I_2 \sigma_p - I_3 = 0 \quad (1-20)$$

که در آن؛

$$\begin{aligned} I_1 &= \sigma_x + \sigma_y + \sigma_z \\ I_2 &= \sigma_x \sigma_y + \sigma_y \sigma_z + \sigma_z \sigma_x - \tau_{xy}^2 - \tau_{yz}^2 - \tau_{xz}^2 \end{aligned} \quad (1-21)$$

$$I_3 = \begin{vmatrix} \sigma_x & \tau_{xy} & \tau_{xz} \\ \tau_{xy} & \sigma_y & \tau_{yz} \\ \tau_{xz} & \tau_{yz} & \sigma_z \end{vmatrix}$$

سه جواب رابطه درجه سه (1-20) تنش‌های اصلی هستند. در رابطه با این سه تنش، سه سری کسینوسهای هادی وجود دارند که موقعیت صفحات اصلی را نسبت به محورهای مختصات اولیه مشخص می‌نمایند. تنش‌های اصلی مقادیر ویژه تانسور تنش  $\tau_{ij}$  می‌باشند. چون تانسور تنش یک تانسور متقارن با المان‌های حقیقی است، مقادیر ویژه آن هم حقیقی خواهد بود. به عبارت دیگر هر سه تنش اصلی حقیقی هستند. کسینوسهای هادی  $l$ ،  $m$  و  $n$  بردارهای ویژه  $\tau_{ij}$  می‌باشند.

واضح است که تنش‌های اصلی مستقل از جهت سیستم محورهای اولیه هستند. در نتیجه در روابط (1-20)، مقادیر  $I_1$ ،  $I_2$  و  $I_3$  نیز مستقل از  $x$  و  $y$  و  $z$  خواهند بود، چون در غیر اینصورت تنش‌های اصلی تغییر خواهند کرد. برای مثال با جمع روابط مربوط به  $\sigma_x'$ ،  $\sigma_y'$  و  $\sigma_z'$  از رابطه (1-17) و با استفاده از روابط (a) و (b) قسمت قبل نتیجه می‌شود؛

$$I_1 = \sigma_x' + \sigma_y' + \sigma_z' = \sigma_x + \sigma_y + \sigma_z$$

در نتیجه ضرایب  $I_1$ ،  $I_2$  و  $I_3$  ثابت‌های تانسور تنش می‌باشند.

حال اگر یکی از تنش‌های اصلی، مثلاً  $\sigma_1$  از رابطه (1-20)، مشخص باشد، با قرار دادن آن در رابطه (1-18) روابطی بدست می‌آید که همراه با  $l^2 + m^2 + n^2 = 1$  برای بدست آوردن مقادیر کسینوسهای هادی کافی است. بدین ترتیب می‌توان جهت  $\sigma_1$  را نسبت به سیستم محورهای  $xyz$  به دست آورد. با روش مشابه جهت تنش‌های  $\sigma_2$  و  $\sigma_3$  به دست می‌آید. در حالتیکه  $\sigma_1 = \sigma_2 = \sigma_3$  است، می‌توان نشان داد که همه صفحات داخل محیط پیوسته صفحات اصلی هستند. چنین حالتی در مایع ایده‌آل، که در آن تنش‌های برشی صفر هستند، و در حالت تنش هیدرواستاتیک پیش می‌آید.

### مثال 1-3

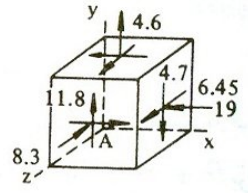
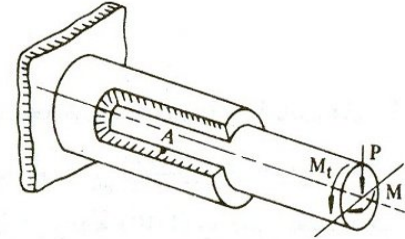
یک میله فولادی داخل لوله چدنی یک سرگردار جا زده شده است. این میله تحت ممان خمشی  $M$ ، کوپل پیچشی  $M_t$ ، و بار عرضی  $P$  قرار دارد، شکل (1-10a). در نقطه



A از لوله میدان تنش مطابق شکل (1-10b) است، و مقادیر مؤلفه‌های تنش به صورت ماتریس زیر می‌باشد؛

$$\begin{bmatrix} -19 & -4.7 & -6.45 \\ -4.7 & 4.6 & 11.8 \\ 6.45 & 11.8 & -8.3 \end{bmatrix} \text{ MPa}$$

تنش‌های اصلی و جهت صفحات اصلی رانسبت به سیستم محورهای اولیه پیدا کنید.



(a)

(b)

شکل (1-10)

$$\sigma_p^3 - I_1 \sigma_p^2 + I_2 \sigma_p - I_3 = 0 \quad (1-20)$$

حل: با قراردادن تنش‌ها در رابطه (1-20) و با استفاده از روابط (B.2) نتیجه می‌شود؛  
 $\sigma_1 = 11.618 \text{ MPa}$  ،  $\sigma_2 = -9.001 \text{ MPa}$  ،  $\sigma_3 = -25.316 \text{ MPa}$   
 با قراردادن این مقادیر به ترتیب در رابطه (1-18) ، و با استفاده از رابطه (1-13) با (B-6) ، کسینوسهای هادی صفحات اصلی مربوط به  $\sigma_1$  ،  $\sigma_2$  و  $\sigma_3$  برابر خواهند شد با؛

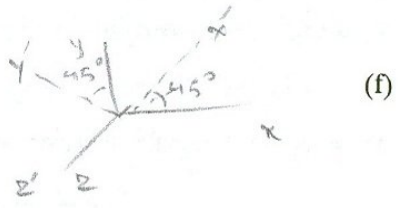
$$\begin{aligned} l_1 = 0.0266 & , & m_1 = -0.8638 & , & n_1 = -0.5-31 \\ l_2 = -0.6209 & , & m_2 = 0.3802 & , & n_2 = -0.6855 \\ l_3 = 0.7834 & , & m_3 = 0.3806 & , & n_3 = -0.5262 \end{aligned}$$

باید توجه داشت که جهت‌های اصلی برای برآورد ابعاد نهائی جسم مورد استفاده قرار می‌گیرند.

مثال 1-4

تانسور تنش برای نقطه‌ای از یک عضو ماشین نسبت به یک سیستم محورهای مختصات کارتزین به صورت زیر داده شده است؛

$$\begin{bmatrix} 50 & 10 & 0 \\ 10 & 20 & 40 \\ 0 & 40 & 30 \end{bmatrix} \text{ MPa}$$



حالت تنش و  $I_1$  ،  $I_2$  و  $I_3$  را برای سیستم محورهای  $x'y'z'$  پیدا کنید. در سیستم محورهای مختصات جدید محورهای  $x$  و  $y$  در خلاف جهت عقربه‌های ساعت  $45^\circ$  چرخیده‌اند.

حل: با توجه به چرخش محورهای جدید، کسینوسهای هادی برابرند با؛

$$\begin{aligned} l_1 = m_1 = m_2 = 1/\sqrt{2} & \quad n_1 = n_2 = l_3 = m_3 = 0 \\ l_2 = -1/\sqrt{2} & \\ n_3 = 1 & \end{aligned}$$

$$\begin{bmatrix} \frac{1}{\sqrt{2}} & \frac{1}{\sqrt{2}} & 0 \\ -\frac{1}{\sqrt{2}} & \frac{1}{\sqrt{2}} & 0 \\ 0 & 0 & 1 \end{bmatrix}$$

با استفاده از رابطه (1-17) نتیجه می‌شود؛

$$\begin{bmatrix} 45 & -15 & 28.28 \\ -15 & 25 & 28.28 \\ 28.28 & 28.28 & 30 \end{bmatrix} \text{ MPa} \quad (g)$$

با قراردادن هر یک از دو آرایه (f) و (g) در رابطه (1-21) نتیجه خواهد شد؛



$$I_1 = 100 \quad , \quad I_2 = 1400 \quad , \quad I_3 = -53,000$$

### 1-10 تنش های نرمال و برشی روی یک سطح مایل

در برخی موارد لازم است که با دانستن تنش های اصلی، تنش های نرمال و برشی روی یک سطح مایل، شکل (1-11a)، محاسبه شود. در این شکل محورهای x، y و z موازی محورهای اصلی هستند. با نشان دادن کسینوسهای هادی سطح ABC با l، m و n و با توجه به؛

$$\sigma_x = \sigma_1 \quad , \quad \tau_{xy} = \tau_{xz} = 0 \quad , \quad \dots$$

رابطه (1-15) به صورت زیر درمی آید:

$$T_x = \sigma_1 l \quad , \quad T_y = \sigma_2 m \quad , \quad T_z = \sigma_3 n$$

در نتیجه متجه تنش روی سطح مایل برابر می شود با:

$$T^2 = \sigma_1^2 l^2 + \sigma_2^2 m^2 + \sigma_3^2 n^2 = \sigma^2 + \tau^2 \tag{a}$$

تنش نرمال روی این سطح از رابطه (1-17a) برابر می شود با:

$$\sigma = \sigma_1 l^2 + \sigma_2 m^2 + \sigma_3 n^2 \tag{1-22}$$

با قراردادن این مقدار در رابطه (a)، تنش برشی برابر خواهد شد با:

$$\tau^2 = \sigma_1^2 l^2 + \sigma_2^2 m^2 + \sigma_3^2 n^2 - (\sigma_1 l^2 + \sigma_2 m^2 + \sigma_3 n^2)^2 \tag{1-23}$$

با بسط این رابطه و با استفاده از:

$$1 - l^2 = m^2 + n^2$$

$$1 - n^2 = l^2 + m^2 \quad , \quad \dots$$

نتیجه زیر بدست می آید:

$$\tau = [(\sigma_1 - \sigma_2)^2 l^2 m^2 + (\sigma_2 - \sigma_3)^2 m^2 n^2 + (\sigma_3 - \sigma_1)^2 n^2 l^2]^{1/2} \tag{1-24}$$

مجدداً این رابطه نشان می دهد که اگر همه تنش های اصلی برابر باشند، تنش برشی صفر خواهد شد.

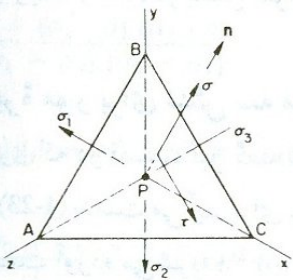
درحالتی که روی سطوح عمود بر هم شکل (1-11a) علاوه بر تنش های نرمال تنش های برشی هم عمل می کند، روابط (1-22) و (1-24) به صورت زیر درمی آیند:

$$\sigma = \sigma_x l^2 + \sigma_y m^2 + \sigma_z n^2 + 2(\tau_{xy} l m + \tau_{yz} m n + \tau_{xz} l n) \tag{1-25}$$

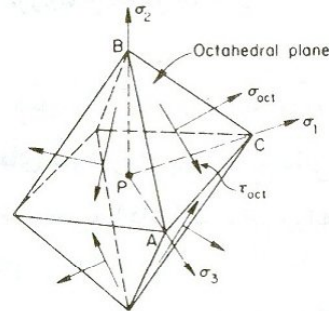
و

$$\tau = [(\sigma_x l + \tau_{xy} m + \tau_{xz} n)^2 + (\tau_{xy} l + \sigma_y m + \tau_{yz} n)^2 + (\tau_{xz} l + \tau_{yz} m + \sigma_z n)^2 - \sigma^2]^{1/2} \tag{1-26}$$

که در آن  $\sigma$  با رابطه (1-25) داده شده است. روابط (1-22) تا (1-26) روابط ساده شده انتقال برای تنش سه محوری هستند.



(a)



(b)

شکل (1-11)

### مثال 1-5

تنش برشی روی رویه ABC شکل (1-11a) را درحالت  $PA = PB = PC$  به دست آورید. این سطح در تئوری تسلیم جسم مورد توجه است.



حل: نرمال این سطح باید دارای کسینوسهای هادی مساوی نسبت به محورهای اصلی باشد. باتوجه به:

$$l^2 + m^2 + n^2 = 1$$

نتیجه می شود؛

$$l = m = n = \frac{1}{\sqrt{3}} \quad (b)$$

سطح ABC یکی از هشت رویه هشت وجهی منظم شکل (1-11b) خواهد بود. با استفاده از روابط (1-23) و (b) «تنش برشی هشت وجهی» به صورت زیر بدست می آید:

$$\tau_{oct} = \frac{1}{3} [(\sigma_1 - \sigma_2)^2 + (\sigma_2 - \sigma_3)^2 + (\sigma_3 - \sigma_1)^2]^{1/2} \quad (1-27)$$

با استفاده از روابط (1-22) و (b)، «تنش نرمال هشت وجهی» برابر خواهد شد با؛

$$\sigma_{oct} = \frac{1}{3} (\sigma_1 + \sigma_2 + \sigma_3) \quad (1-28)$$

تنش نرمال روی سطح هشت وجهی متوسط تنش های اصلی است و «تنش متوسط» نامیده می شود. جهت های  $\sigma_{oct}$  و  $\tau_{oct}$  در شکل (1-11b) نشان داده شده است. شکل دیگری از رابطه (1-27) در بخش سوم، قسمت انرژی، ارائه خواهد شد.

### 1-11 دایره مور برای تنش سه محوری

به طوری که در قسمت قبل گفته شد، تنش های  $\sigma$  و  $\tau$  روی یک سطح مایل از روابط (1-22) و (1-23) بدست می آید. برای بیان روش ترسیمی، یا دایره مور، این روابط مجدداً در این قسمت آورده می شوند؛

$$\sigma = \sigma_1 l^2 + \sigma_2 m^2 + \sigma_3 n^2 \quad (a)$$

$$\tau^2 = \sigma_1^2 l^2 + \sigma_2^2 m^2 + \sigma_3^2 n^2 - (\sigma_1 l^2 + \sigma_2 m^2 + \sigma_3 n^2)^2 \quad (b)$$

در ضمن بین کسینوسهای هادی رابطه زیر برقرار است؛

$$l^2 + m^2 + n^2 = 1 \quad (c)$$

از این سه رابطه می توان مقادیر  $l^2$ ،  $m^2$  و  $n^2$  را به دست آورد. از رابطه (c) نتیجه

می شود؛

$$m^2 = 1 - l^2 - n^2 \quad (d)$$

با قراردادن این مقدار در رابطه (a) نتیجه خواهد شد.

$$\sigma = \sigma_1 l^2 + \sigma_2 (1 - l^2 - n^2) + \sigma_3 n^2 \quad (e)$$

و در نتیجه؛

$$n^2 = \frac{\sigma + l^2 (\sigma_2 - \sigma_1) - \sigma_2}{\sigma_3 - \sigma_2} \quad (f)$$

با قراردادن مقادیر  $m^2$  از رابطه (d) و  $n^2$  از رابطه (f) در رابطه (b)، نتیجه می شود؛

$$l^2 = \frac{\tau^2 + (\sigma_2 - \sigma) (\sigma_3 - \sigma)}{(\sigma_2 - \sigma_1) (\sigma_3 - \sigma_1)} \quad (g)$$

و به طریق مشابه؛

$$m^2 = \frac{\tau^2 + (\sigma_3 - \sigma) (\sigma_1 - \sigma)}{(\sigma_3 - \sigma_2) (\sigma_1 - \sigma_2)} \quad (h)$$

و

$$n^2 = \frac{\tau^2 + (\sigma_1 - \sigma) (\sigma_2 - \sigma)}{(\sigma_1 - \sigma_3) (\sigma_3 - \sigma_3)} \quad (i)$$

رابطه (g) را می توان به صورت زیر؛

$$(\sigma - \sigma_2) (\sigma - \sigma_3) + \tau^2 = l^2 (\sigma_1 - \sigma_2) (\sigma_1 - \sigma_3)$$

و یا؛

$$(\sigma - \frac{\sigma_2 + \sigma_3}{2})^2 + \tau^2 = l^2 (\sigma_1 - \sigma_2) (\sigma_1 - \sigma_3) + (\frac{\sigma_2 - \sigma_3}{2})^2 \quad (1-29)$$

نوشت.

اگر  $l$ ،  $m$  و  $n$  داده شده باشند،  $\sigma$  و  $\tau$  روی دایره ای قرار دارند که معادله آن به صورت

رابطه (1-29) است. در ترسیم دایره محور افقی  $\sigma$  و محور قائم  $\tau$ ، و شعاع دایره برابر خواهد بود با؛

$$\sqrt{l^2 (\sigma_1 - \sigma_2) (\sigma_1 - \sigma_3) + [(\sigma_2 - \sigma_3) / 2]^2} \quad (j)$$

محورهای  $\sigma$  و  $\tau$  را رسم کرده و روی محور  $\sigma$  نقاط  $P_1$  و  $P_2$  و  $P_3$  انتخاب می گردد که

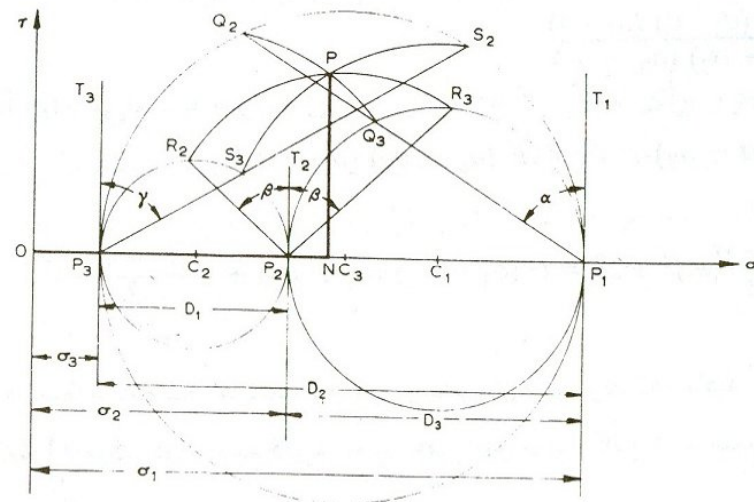


مراکز  $C_1$ ،  $C_2$  و  $C_3$  در؛  $OP_2 = \sigma_1$ ،  $OP_2 = \sigma_2$  و  $OP_3 = \sigma_3$  باشد. سپس دوایری به قطرهای  $P_1P_2$ ،  $P_2P_3$  و  $P_3P_1$  به

$$\left(\frac{\sigma_1 + \sigma_2}{2}, 0\right) \text{ و } \left(\frac{\sigma_2 + \sigma_3}{2}, 0\right) \text{ و } \left(\frac{\sigma_3 + \sigma_1}{2}, 0\right)$$

رسم می شود. از نقاط  $P_1$ ،  $P_2$  و  $P_3$  سه خط  $P_1T_1$  و  $P_3T_3$  موازی محور  $\tau$  ترسیم می گردد، شکل (1-12). از نقطه  $P_1$  خطی با زاویه  $\alpha$  نسبت به  $P_1T_1$  طوری رسم می شود که در آن  $l = \cos \alpha$  باشد. این خط دوایر  $P_1P_2$  و  $P_1P_3$  را در نقاط  $Q_2$  و  $Q_3$  قطع می کند. مختصات نقطه  $Q_3$  برابر است با؛

$$\sigma_3 + (\sigma_1 - \sigma_2) \cos^2 \alpha \text{ و } (\sigma_1 - \sigma_2) \cos \alpha \sin \alpha$$



شکل (1-12)

با داشتن این مختصات طول  $C_2Q_3$  برابر خواهد شد با؛

$$\begin{aligned} (C_2 Q_3)^2 &= \left[ \frac{(\sigma_2 - \sigma_3) + 2(\sigma_1 - \sigma_2)l^2}{2} \right]^2 + \left[ (\sigma_1 - \sigma_2) / \sqrt{1 - l^2} \right]^2 \\ &= \left[ \left( \frac{\sigma_2 - \sigma_3}{2} \right)^2 + l^2 (\sigma_1 - \sigma_2) (\sigma_1 - \sigma_3) \right] \end{aligned} \quad (k)$$

مقایسه دو رابطه (k) و (j) نشان می دهد که  $C_2Q_3$  برابر شعاع دایره ای است که نقطه ای با تنش های  $\sigma$  و  $\tau$  روی آن قرار دارد. به طریق مشابه می توان نشان داد که؛

$$C_2Q_2 = C_2Q_3$$

با روشی مشابه روش فوق و با استفاده از روابط (h) و (i) برای  $m^2$  و  $n^2$ ،  $\sigma$  و  $\tau$  روی:

۱- دایره ای به مرکز  $C_3$  و شعاع  $C_3R_2 = C_3R_3$  قرار دارد که در آن  $R_2$  و  $R_3$  نقاط تقاطع خط های رسم شده از  $P_2$  با زاویه  $\beta$  ( $\cos \beta = m$ ) نسبت به خط  $P_3T_2$ ، با دوایر  $P_2P_1$  و  $P_2P_3$  می باشد.

۲- دایره ای به مرکز  $C_1$  و شعاع  $C_1S_2 = C_1S_3$  قرار دارد که در آن  $S_2$  و  $S_3$  نقاط تقاطع خط رسم شده از  $P_3$  با زاویه  $\gamma$  ( $\cos \gamma = n$ ) نسبت به خط  $P_3T_3$ ، با دوایر  $P_3P_1$  و  $P_3P_2$  است. قرار خواهد داشت. بدین طریق نقطه  $P$  با مؤلفه های  $\sigma$  و  $\tau$  نقطه تقاطع سه دایره فوق خواهد بود، شکل (1-12).

باتوجه به بحث فوق برای تعیین  $\sigma$  و  $\tau$  با دانستن  $\sigma_1$ ،  $\sigma_2$  و  $\sigma_3$  به ترتیب زیر عمل می شود؛

۱- محورهای کارترین  $\sigma$  و  $\tau$  انتخاب شده و روی محور  $\sigma$  نقاط  $P_1$ ،  $P_2$  و  $P_3$  طوری انتخاب می شود که؛

$$OP_1 = \sigma_1 \text{ و } OP_2 = \sigma_2 \text{ و } OP_3 = \sigma_3$$

باشد.

۲- دوایری به قطرهای  $P_1P_2$  و  $P_2P_3$ ،  $P_1P_2$  با مراکز  $C_1$ ،  $C_2$  و  $C_3$  رسم می شود.

۳- خطوط  $P_1T_1$  و  $P_3T_3$  موازی محور  $\tau$  رسم می گردد.

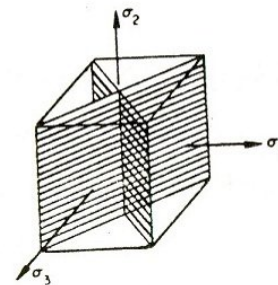


۴- خط  $P_1Q_2$  با زاویه  $\alpha$  ( $\cos\alpha = l$ ) نسبت به  $P_1T_1$ ، و خط  $P_3S_3$  با زاویه  $\gamma$  ( $\cos\gamma = \gamma$ ) نسبت به  $P_3T_3$  رسم شده تا دایره‌ای قسمت 2 را در نقاط  $Q_2$ ،  $Q_3$  و  $S_3$  قطع نماید.

۵- به مرکز  $C_1$  قوس  $S_2S_3$  به شعاع  $C_1S_2$ ، و به مرکز  $C_2$  قوس  $Q_2Q_3$  به شعاع  $C_2Q_2$  رسم شده تا یکدیگر را در نقطه  $P$  قطع نمایند. مؤلفه‌های  $P$  (PN, ON) تنش‌های  $\sigma$  و  $\tau$  را بدست خواهد داد. با توجه به روش ترسیمی فوق نتیجه می‌شود که نقطه  $P$  همواره بین منطقه محصور شده توسط سه دایره  $C_1$ ،  $C_2$  و  $C_3$  و یا روی این دوایر قرار خواهند داشت. بیشترین مقدار تنش برشی برابر خواهد شد با؛

$$\tau_{\max} = \frac{1}{2} (\sigma_1 - \sigma_3) \quad (1-30)$$

و این تنش روی صفحاتی عمل می‌کند که نیمساز صفحات تنش اصلی ماکزیمم و می‌نیمم است، شکل (1-13).



شکل (1-13)

## 1-12 تغییرات تنش روی مرز یک جسم

حال روابط بین مؤلفه‌های تنش و نیروهای سطحی داده شده روی مرز جسم بررسی می‌شود. روابط تعادل در داخل جسم در قسمت 1-4 ارائه شد. این روابط باید در نواحی مرزی با نیروهای سطحی در حال تعادل باشند. به عبارت دیگر نیروهای خارجی

می‌تواند ادامه توزیع تنش‌های داخلی در نظر گرفته شوند. کنج چهار وجهی شکل (1-9) مجدداً در نظر گرفته شده، فرض می‌شود سطح مایل  $ABC$  یک رویه مرزی جسم است. مؤلفه‌های متجه تنش  $\vec{T}$  در این صورت نیروهای سطحی  $T_x$ ،  $T_y$  و  $T_z$  بر واحد سطح خواهند بود و «کشش‌های سطحی»<sup>(1)</sup> نامیده می‌شوند. روابط تعادل برای این المان، شرایط مرزی را نشان می‌دهند و با استفاده از رابطه (1-15)، به صورت زیر خواهند بود؛

$$\begin{aligned} T_x &= \sigma_x l + \tau_{xy} m + \tau_{xz} n \\ T_y &= \tau_{xy} l + \sigma_y m + \tau_{yz} n \\ T_z &= \tau_{xz} l + \tau_{yz} m + \sigma_z n \end{aligned} \quad (1-31)$$

برای مثال اگر سطح مرزی عمود بر محور  $x$  باشد، از رابطه (1-31) نتیجه خواهد شد؛

$$T_x = \sigma_x, \quad T_y = \tau_{xy}, \quad T_z = \tau_{xz}$$

در این صورت مؤلفه‌های نیروی سطحی،  $T_x$ ،  $T_y$  و  $T_z$  با  $\sigma_x$ ،  $\tau_{xy}$  و  $\tau_{xz}$  در حال تعادل خواهند بود.

باید توجه داشت که در برخی موارد شرایط مرزی به جای توزیع نیروهای سطحی روی مرز، ممکن است به صورت مؤلفه‌های تغییر مکان روی مرز داده شده باشند. در این موارد باید روابط تعادل به کمک قانون هوک به روابط بین کرنش‌های تبدیل شده و با استفاده از روابط کرنش - تغییر مکان، نهایتاً روابط به صورت روابطی بین مؤلفه‌های تغییر مکان درآید.